非化学计量比二氧化钛/纳米碳纤维 电极的制备及其超级电容性能的研究

任亚琦 吕怿滢 李 玺 圧 瑞

(成都工业学院材料与环境工程学院 四川 成都 611730)

摘 要: 采用静电纺丝—浸渍—煅烧方法 制备一体化的非化学计量比二氧化钛/纳米碳纤维电极 并用于超级电容 的制作中。电极由直径为 $80\sim 100\,\mathrm{nm}$ 的碳纤维作为基底 \pounds 纤维外覆盖细小的 $\mathrm{TiO_2}$ 纳米颗粒 通过在惰性气氛中的高 温煅烧 获得非化学计量比的 TiO,。最终 900 ℃下煅烧获得的电极在 0.2 A/g 的电流密度下 ,放电电容达到 222.81 $\mathrm{F/g}$ 且 $\mathrm{2~A/g}$ 的电流密度下 $\mathrm{6~000}$ 次循环后电容保持率达到 $\mathrm{92\%}$ 体现出优良的超级电容性能和循环性能

关键词: 二氧化钛; 纳米碳纤维; 非化学计量比; 超级电容

中图分类号: TF823 ,TM53 文献标志码: A 文章编号: 1004-7638(2020) 06-0035-05

DOI: 10.7513/j.issn.1004-7638.2020.06.008 开放科学(资源服务)标识码(OSID):



Preparation of Non-stoichiometric Titanium Dioxide/Carbon Nanofiber Electrode and Its Performance for Supercapacitor

Ren Yaqi Lü Yiying Li Xi ,Wang Rui

(School of Materials and Environmental Engineering Chengdu Technological University Chengdu 611730 Sichuan China)

Abstract: An integrated non-stoichiometric titanium dioxide/carbon nanofiber electrode was prepared by electrospinning-impregnating-calcination method and used for supercapacitor. Fine TiO2 nanoparticles were anchored onto the surface of carbon nanofiber substrate with the diameter of 80~100 nm. And non-stoichiometric TiO₂ nanoparticles were obtained by calcination at high temperature in inert atmosphere. The sample calcined at 900 °C exhibits the highest capacitance with 222.81 F/g discharge capacitance at 0.2 A/g current density and good cycle stability with 92% retention rate at 2 A/g current density after 6 000 cycles.

Key words: TiO, nanofibers non-stoichiometric supercapacitor

引言 0

社会经济的快速发展对电化学储能体系要求越 来越高。超级电容器具有功率密度高(>10 kW/ kg)、使用寿命长(>100 000 次)、成本低等优点,在 电动工具、电动公共汽车等对功率密度和成本有较 高要求的应用领域具有独特优势[1]。传统的超级电 容器中主要采用两类材料作为电极活性物质: 碳材 料和过渡金属氧化物[2-3]。碳材料虽然具有高比表 面积 但是其比电容和振实密度较低 严重地限制了 电容器实际比容量和比功率的提升[4-5]。

在过渡金属氧化物中、TiO。具有独特的物理化

收稿日期: 2020-09-20

基金项目: 四川省科技计划资助(2020YJ0392); 成都工业学院博士基金(2018RC017)。

作者简介: 任亚琦(1987—) 女 河南济源人 博士 讲师 研究方向: 新能源材料与器件、电池回收。 E-mail: renyaqii@ 163.

学性质[6-7]。TiO2在常温下稳定性良好,很难与其 他物质反应^[8-9]。虽然纯 TiO₂ 是绝缘体^[10] ,但是其 对缺氧环境非常敏感,很容易在制备过程中形成氧 缺陷而制备出非化学计量比的 TiO, 材料[11-12]。而 非化学计量比 TiO。则兼具好的稳定性和电导率两 方面的优点[13]。此外,钛元素在地壳中丰度约占千 分之六 是铜的 60 余倍 金属元素中仅次于铁、铝和 镁 成本优势明显。我国是钛矿储量最多的国家 储 量约占全球总储量的 28% ,传统的钛产业主要应用 于钛白粉加工等低附加值领域,开发钛材料应用于 超级电容器等对国民经济的增长也有重要意义。在 实际应用方面 冲山大学童叶翔课题组通过氢气还 原在钛纤维表面制备出了非化学计量比 TiO, 纳米 管并将其应用于超级电容器中[14]。由于大量氧空 位的存在 非化学计量比的 TiO₂ 的电导率得以大幅 提升。随后 他们还在碳布基底上通过水热—电沉 积的方法制备了 MnO,-还原 TiO, 复合材料 获得了 139.6 F/g 的比电容 同时在 5 000 次循环后容量保 持率可达到 $91.2\%^{[15]}$ 。分析现有的方法可以发现, 非化学计量比 TiO₂ 在超级电容器具有良好的应用 前景,但是其制备过程需要采用氢气作为还原介质, 给实际应用带来一定安全风险。

笔者通过静电纺丝—浸渍—煅烧的方法高效简便地制备了非化学计量比 TiO₂/纳米碳纤维复合电极 并将其成功应用于超级电容器中。通过对不同碳化温度的调控 研究了所制备材料的成分、形貌和氧缺陷含量等性质及其超级电容表现 ,实现了 TiO₂ 氧缺陷和比表面积的协同调控 ,最终在 0.5 A/g 的电流密度下 ,获得了 160.73 F/g 的比电容 ,且 6 000次循环后保持 92%的容量保持率 ,为 TiO₂ 材料在超级电容中的应用提供了新的方向。

1 试验部分

1.1 试验材料

聚丙烯腈(PAN): 平均分子量 150 000 ,Sigma-Aldrich; 二甲基甲酰胺(DMF): 无水级 ,上海阿拉丁生化科技股份有限公司; 乙醇: 无水级 ,上海阿拉丁生化科技股份有限公司; 四氯化钛(TiCl₄): 99.5% ,上海阿拉丁生化科技股份有限公司。氢氧化钾(KOH): 分析纯 ,天津市大茂化学试剂厂; Nafio 溶液: 分析纯 美国杜邦公司。

1.2 试验设备

扫描电子显微镜(SEM): 日本日立 HITACHI S

-4700; X 射线衍射仪(XRD): 日本理学 D/max 2 500/PC; X 射线光电子能谱(XPS): 英国 Thermo ECSALAB 250; 电化学工作站: 上海辰华 CHI760D型; 静电纺丝设备: 天津东文高压电源厂。

1.3 电极材料制备与表征测试

首先将 PAN 溶解于 DMF 中配成 5%溶液,之后将溶液采用静电纺丝方法在 10~kV 电压下纺成纳米纤维丝。之后将获得的 PAN 纳米纤维丝在空气下进行预氧化,氧化温度 250~%,氧化时间 2~h。将预氧化后的纳米纤维浸泡在含有 $1\%~TiCl_4$ 的乙醇溶液中 20~h,之后清洗烘干 转移入管式炉,在氮气保护下 $800\900\1~000~\%$ 热处理 3~h,得到目标产物,将其分别命名为 $TiO_{2-x}/CNF-800\TiO_{2-x}/CNF-900\TiO_{2-x}/CNF-1000$ 。作为对比 将没有浸泡四氯化钛乙醇溶液的预氧化纳米纤维在 900~%下热处理 3~h,命名为 CNF-900。

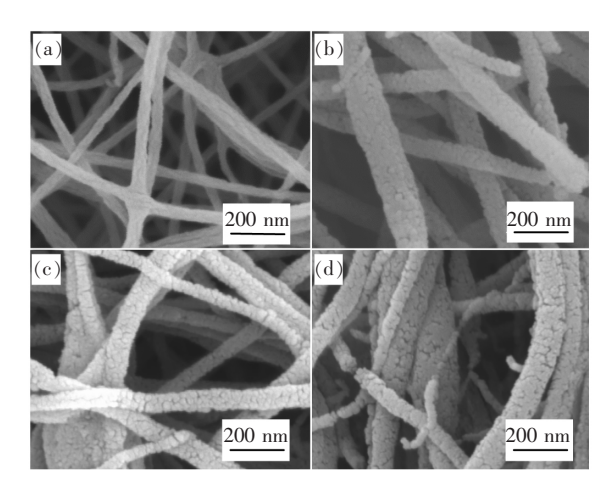
电极的形貌、晶体结构、 TiO_2 中 Ti 的表面价态等数据分别通过扫描电子显微镜、X 射线衍射仪、X 射线光电子能谱仪测试获得。

电极电化学性能测试在三电极体系中进行: 将负载 TiO_2 /纳米碳纤维电极用 Nafion 溶液粘在玻碳电极上作为工作电极 Ag/AgCl 电极为参比电极 Ag/AgCl 电极为参比电极 Ag/AgCl 电极为转助电极 Ag/AgCl 电极为转助电极 Ag/AgCl 电极为转动电极 Ag/AgCl 电极为有限 Ag/AgCl 电极为 Ag/AgCl Ag/

2 结果与讨论

图 1 是不同样品的扫描电镜照片。从图 1 可以发现 静电纺丝法制备的纳米碳纤维电极 CNF-900的纤维直径在 $80 \sim 100~\rm nm$ 表面相对光滑。在浸泡过四氯化钛乙醇溶液后 .纳米纤维电极的直径变粗 .约为 $100 \sim 150~\rm nm$.同时表面覆盖了一层多孔层。这层多孔层是由于 $TiCl_4$ 在纳米碳纤维表面吸附后原位水解产生的。多孔层的存在将有利于离子在电极表面吸附 进而获得高比电容。图 1(b) 和(c) 中,多孔颗粒互不团聚且均匀附着在碳纤维表面,但是图 1(d) 中,当煅烧温度升高到 $1~000~\rm C$ 时,颗粒间出现了明显的粘连和团聚 这可能会影响材料的电化学性能。

图 2 是不同电极的 XRD 数据 ,由图 2 可知 CNF -900 在 $20^\circ \sim 30^\circ$ 存在很弱的宽峰 ,对应湍层碳结构的(002) 晶面。而 $TiO_{2-x}/CNF - 800 \ TiO_{2-x}/CNF - 900 \ TiO_{2-x}/CNF - 1000$ 的样品除了碳的衍射峰 ,还有更尖锐的 TiO_2 衍射峰 ,说明材料是由碳和 TiO_2 组成的。对比标准谱图可知 ,所有样品都是由锐钛矿和金红石的混合相组成的 [16] 。



(a)CNF-900; (b)TiO₂₄/CNF-800; (c)TiO₂₄/CNF-900; (d)TiO₂₄/CNF-1000

图 1 不同电极的扫描电镜照片 Fig.1 SEM images of different electrodes

利用 XPS 可测得电极中 Ti³⁺的含量 .但由于材料中 Ti³⁺含量较低 且表面的 Ti³⁺暴露在空气中极易被氧化 因此在测试之前采用氩离子轰击材料表面 .之后再进行检测 结果如图 3 所示。每个谱图中均出现四个峰 其中 458.9 eV 和 464.6 eV 对应 Ti³⁺的结合能 .456.9 eV 和 463.3 eV 对应 Ti³⁺的结合能^[17]。通过拟合积

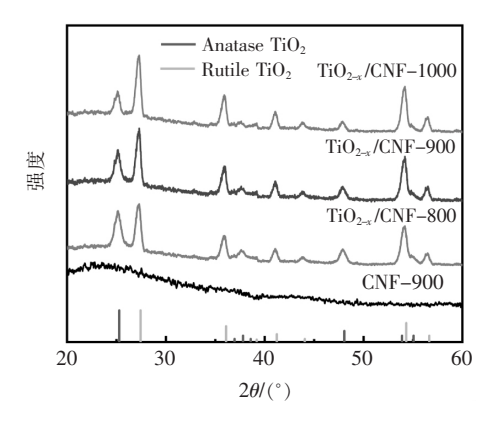


图 2 各电极的 XRD 谱图 Fig.2 XRD patterns of different electrodes

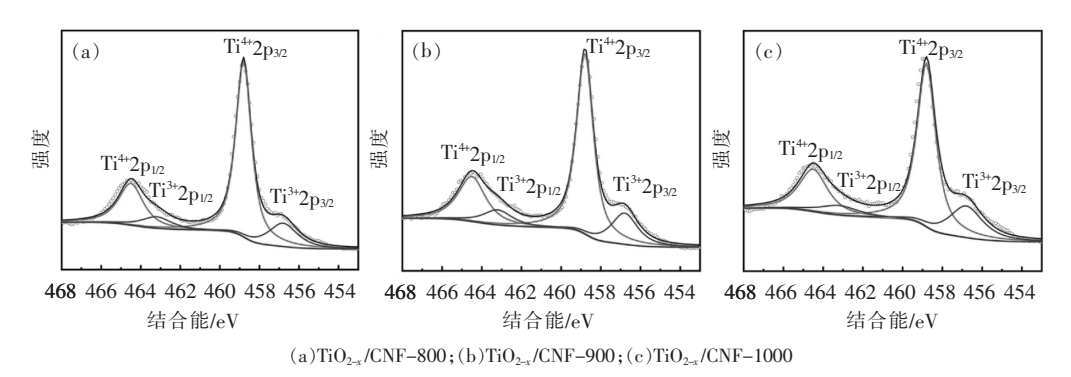


图 3 不同电极在 Ar 离子轰击 60 s 后的 Ti 2p XPS 谱图 Fig.3 XPS spectra of different electrodes after argon ion sputtering for 60 s

图 4 显示了不同电极在 6 M KOH 中的 CV 曲线和充放电曲线。从 CV 曲线的对比可知 ,所有电极的曲线都未出现明显的副反应峰 ,说明-0.95~0.7 V 的电压范围是适合的工作区间; 随着扫速的增加 ,电极的电流密度随之增加。此外 ,相同的扫速下 , TiO_{2-x} /CNF-800 和 TiO_{2-x} /CNF-900 的电流密度远大于 CNF-900 和 TiO_{2-x} /CNF-1000 ,对应具有更高的比电容。从充放电曲线中可以看出 ,电极的充电和放电时间接近 ,表现为对称的三角形 .说明电极材料的电荷传输能力良好 ,且基本无

不可逆的副反应发生。各电极的放电电容计算之后的结果如表 1 所示。从充放电数据中可得到以下结论: ① TiO_{2-x} /CNF-900 的容量高于 CNF-900, 说明在相同的煅烧条件下,非化学计量比 TiO_{2-x} 的加入可大大提高材料的比电容; TiO_{2-x} 与碳纤维之间可能存在协同效应,且 TiO_{2-x} /CNF-900 材料的比表面积增加带来更多的储能点位。②随着煅烧温度的升高, TiO_{2-x} /CNF 材料的电容值由高到低, TiO_{2-x} /CNF-900 体现出最高的比电容,在 0.2 A/g 的电流密度下,放电电容达到 222.81 F/ g; 煅烧温

度的升高会提高 TiO_{2-x} 中氧空位的浓度 ,进而提高 比电容。但是当煅烧温度达到 $1~000~^{\circ}$ 时 , TiO_{2-x} 颗粒团聚变大,导致比表面积大大减小,从而体现 出较低的比电容。

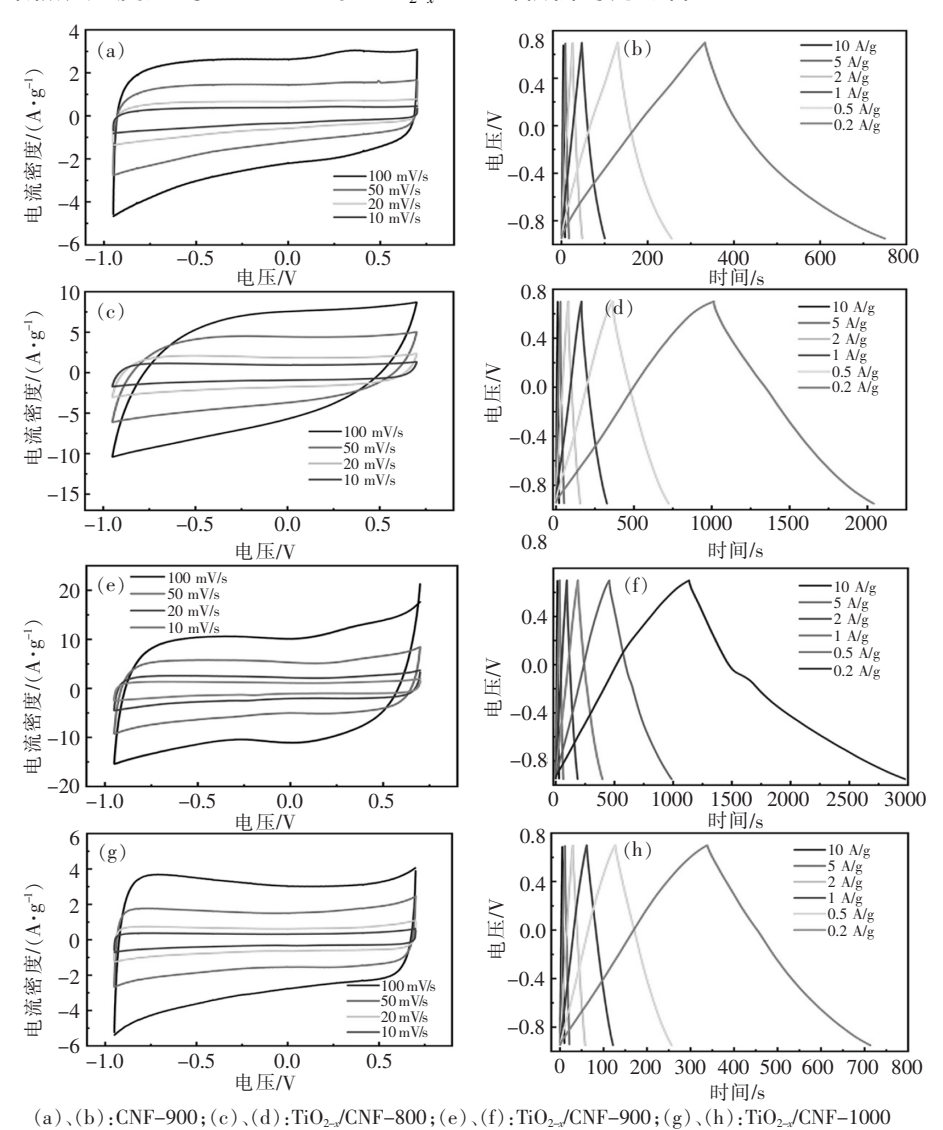


图 4 不同电极的 CV 和充放电曲线 Fig.4 CV and charge-discharge curves of different electrodes

表 1 不同电极在不同放电电流密度下的放电比电容
Table 1 Discharge capacitances of different electrodes tested at different current densities

电流密度/	放电比热容/(F • g ⁻¹)			
(A • g ⁻¹)	CNF-900	TiO _{2-x} /CNF-800	TiO _{2-x} /CNF-900	TiO _{2-x} /CNF-1000
10	21.82	53.33	81.21	29.70
5	24.55	73.64	93.94	31.82
2	27.64	93.09	112.12	34.67
1	32.06	98.79	125.39	36.73
0.5	37.85	108.73	160.73	39.21
0.2	50.58	124.42	222.81	45.42

为测试材料的循环性能 , TiO_{2-x} /CNF-900 电极在 2 A/g 的电流密度下进行充放电测试 ,其结果如图 5 所示。从图 5 可以看出 ,在 6 000 次循环后 ,电

容保持率为 92% 展现了 $TiO_{2-x}/CNF-900$ 优异的循环性能 这得益于氧空位的参与和碳纤维自身的高电导率。

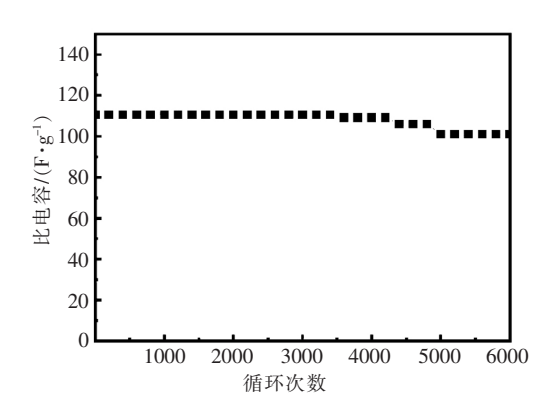


图 5 TiO_{2-x}/CNF-900 在 2 A/g 的电流密度下测试的循环性能 Fig.5 Long-term cycle performance of TiO_{2-x}/CNF-900 at the current density of 2 A/g

3 结论

采用静电纺丝—浸渍—煅烧方法制备了一体化、非化学计量比的 TiO_{2-x}/CNF 电极材料。TiO₂与碳纤维的合理复合可大大提高电极的比电容;通过控制煅烧温度 ,获得不同氧空位浓度和表面结构的电极。

煅烧温度越高,虽然氧空位越多,但电极表面的 TiO_2 颗粒变大,从而影响电化学性能。 900 ℃ 下煅烧获得的 TiO_{2-x} /CNF-900 具有最高的比电容 在 0. 2 A/g 的电流密度下,放电电容达到 222.81 F/g,且 在 6 000 次循环后电容保持率达到 92%,为 TiO_2 在 超级电容中的应用提供了新的思路。

参考文献

- [1] Simon P Gogotsi Y.Materials for electrochemical capacitors [J]. Nature Materials 2008 7: 845-854.
- [2] Sun G Zhang X Lin R *et al*. Hybrid fibers made of molybdenum disulfide reduced graphene oxide and multi-walled carbon nanotubes for solid-state flexible asymmetric supercapacitors [J]. Angewandte Chemie-International Edition 2015 54: 4651–4656.
- [3] Raza W Ali F Raza N et al. Recent advancements in supercapacitor technology [J]. Nano Energy 2018 52: 441-473.
- [4] He X Li R Liu J et al. Hierarchical FeCo₂O₄@ NiCo layered double hydroxide core/shell nanowires for high performance flexible all-solid-state asymmetric supercapacitors [J]. Chemical Engineering Journal 2018 334: 1573-1583.
- [5] Wang Yao ,He Xu ,Huang Qiu'an *et al*. Supercapacitor of TiO₂ prepared by hydrothermal method [J]. Journal of Hubei University 2019 41: 153-158.

 (汪瑶 何絮 潢秋安 等.TiO₂ 的水热生长及其超级电容性能[J]. 湖北大学学报 2019 41: 153-158.)
- [6] Fu W Li Y Chen M et al. An orderly arrangement of layered carbon nanosheet/TiO₂ nanosheet stack with superior artificially interfacial lithium pseudocapacity [J]. Journal of Power Sources 2020 468: 228363.
- [7] Qian Y ,Du J ,Kang D J.Enhanced electrochemical performance of porous Co-doped TiO₂ nanomaterials prepared by a solvother-mal method [J]. Microporous and Mesoporous Materials ,2019 ,273: 148–155.
- [8] Gu Y J ,Wen W ,Wu J M. Wide potential window TiO₂@ carbon cloth and high capacitance MnO₂@ carbon cloth for the construction of a 2.6 V high-performance aqueous asymmetric supercapacitor [J]. Journal of Power Sources 2020 ,469: 228425.
- [9] Pazhamalai P ,Krishnamoorthy K ,Mariappan V K , et al. Blue TiO₂ nanosheets as a high-performance electrode material for super-capacitors [J]. Journal of Colloid and Interface Science 2019 ,536: 62-70.
- [10] Pazhamalai P ,Krishnamoorthy K ,Mariappan V K ,et al. Low-temperature synthesis of TiO₂ nanocrystals for high performance electrochemical supercapacitors [J]. Ceramics International ,2019 ,45: 4990–5000.
- [11] Yang S Li Y Sun J et al. Laser induced oxygen-deficient TiO₂/graphene hybrid for high-performance supercapacitor [J]. Journal of Power Sources 2019 431: 220–225.
- [12] Ren Y ,Li J ,Yu J. Enhanced electrochemical performance of TiO₂ by Ti³⁺ doping using a facile solvothermal method as anode materials for lithium-ion batteries [J]. Electrochimica Acta 2014 ,138: 41-47.
- [13] Toledo Y W D Couto A B Almeida D A L *et al.* Facile synthesis of TiO₂/rGO neatly electrodeposited on carbon fiber applied as ternary electrode for supercapacitor [J]. Materials Research Express 2019 6: 065040.
- [14] Lu X ,Wang G Zhai T ρt al. Hydrogenated TiO₂ nanotube arrays for supercapacitors [J]. Nano Letters 2012 ,12: 1690–1696.
- [15] Lu X ,Yu M ,Wang G ,et al. H-TiO₂@ MnO₂//H-TiO₂@ C Core-shell nanowires for high performance and flexible asymmetric supercapacitors [J]. Advanced Materials 2013 25: 267–272.
- [16] Wang Z ,Wang X ,Wang H *et al*. The mechanism of photodriven oxidation of CO over anatase and rutile TiO₂ investigated from the hydrogen adsorption behavior [J]. Applied Catalysis B: Environmental 2020 277: 119169.
- [17] Su J Zou X X Zou Y C *et al*. Porous titania with heavily self-doped Ti³⁺ for specific sensing of CO at room temperature [J].Inorganic Chemistry 2013 52(10): 5924-5930.
- [18] Zhang F Jin S Mao Y *et al*. Surface characterization of titanium oxide films synthesized by ion beam enhanced deposition [J]. Thin Solid Films ,1997 ,310(1-2):29-33.